

Supporting Information

Tungsten Trioxide and its TiO₂ Mixed Composites for the Photocatalytic Degradation of NO_x and Bacteria (*Escherichia coli*) Inactivation

Ermelinda Falletta ¹, Claudia Letizia Bianchi ¹, Franca Morazzoni ^{2,*}, Alessandra Polissi ³, Flavia Di Vincenzo ³ and Ignazio Renato Bellobono ⁴

¹ Dipartimento di Chimica, Università degli Studi di Milano, via Camillo Golgi 19, 20133 Milano, Italy; ermelinda.falletta@unimi.it (E.F.); claudia.bianchi@unimi.it (C.L.B.)

² Dipartimento di Scienza dei Materiali, Università di Milano-Bicocca, via Roberto Cozzi, 55, 20125 Milano, Italy

³ Dipartimento di Scienze farmacologiche e Biomolecolari, Università degli Studi di Milano, via Giuseppe Balzaretto, 9, 20133 Milan, Italy; alessandra.polissi@unimi.it (A.P.); flavia.divincenzo@unimi.it (F.D.V.)

⁴ Dipartimento di Fisica, Università degli Studi di Milano, via Giovanni Celoria, 16, 20133 Milano, Italy; i.r.bellobono@alice.it

* Correspondence: franca.morazzoni@unimib.it

Table S1. The EDS analysis.

Sample	Ti (mass %)	W (mass %)	TiO ₂ (mass %)	WO ₃ (mass %)
WO ₃ @TiO ₂ _20	68.63	31.38	74.30	25.70
WO ₃ @TiO ₂ _20*	96.50	3.50	97.33	2.67

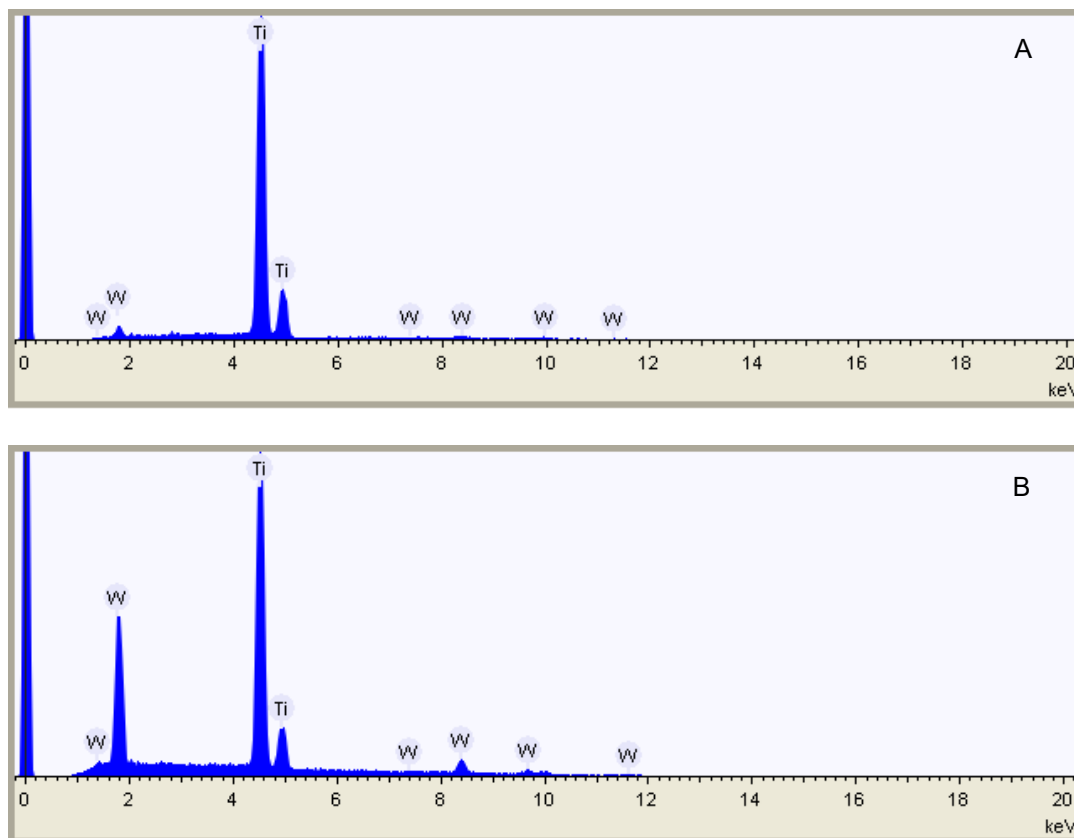


Figure S1. EDX spectrum of (A) WO₃@TiO₂_20* and (B) WO₃@TiO₂_20.

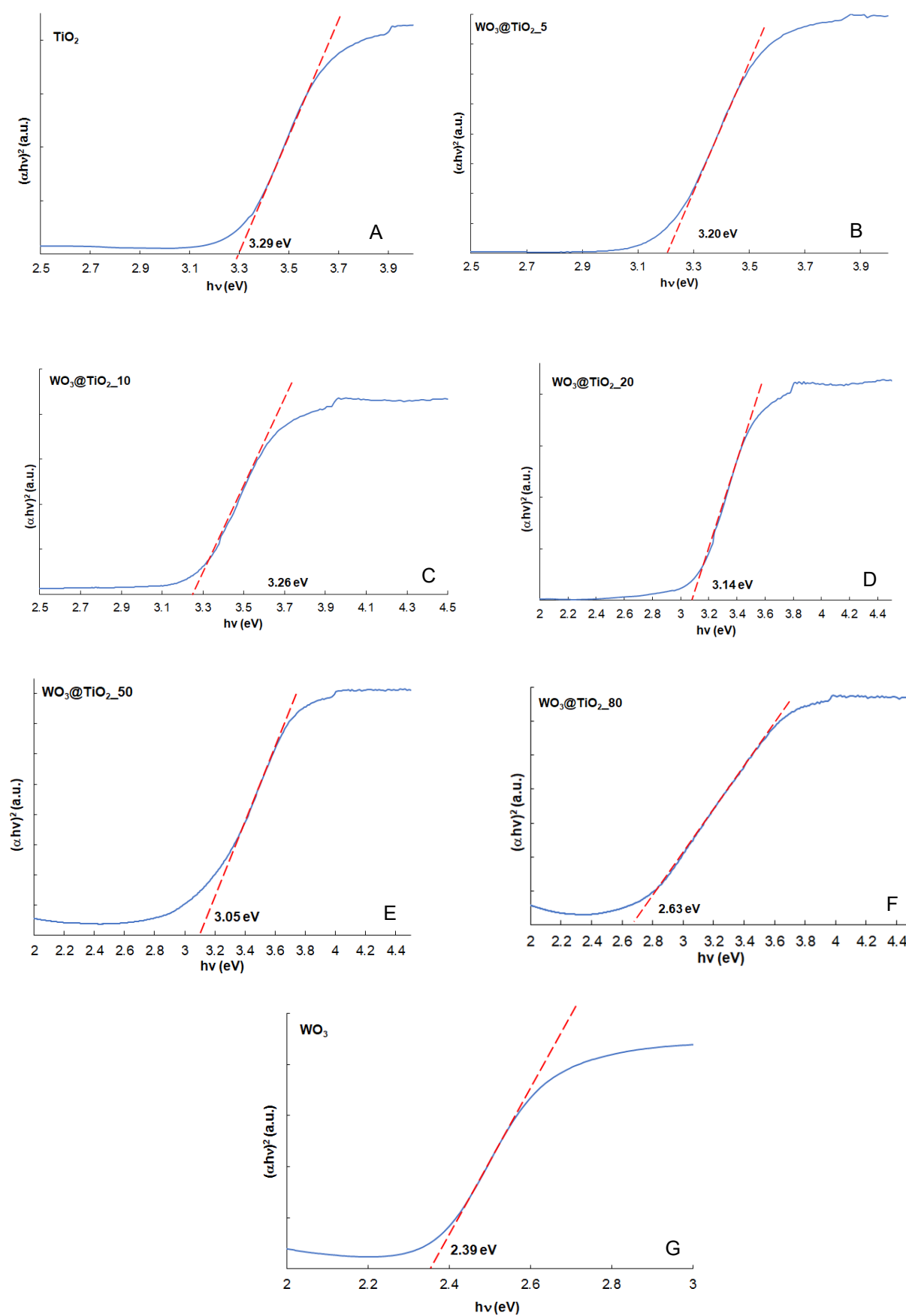


Figure S2. Tauc plot of TiO_2 (A), $\text{WO}_3@ \text{TiO}_2_{5}$ (B), $\text{WO}_3@ \text{TiO}_2_{10}$ (C), $\text{WO}_3@ \text{TiO}_2_{20}$ (D), $\text{WO}_3@ \text{TiO}_2_{50}$ (E), $\text{WO}_3@ \text{TiO}_2_{80}$ (F), WO_3 (G).

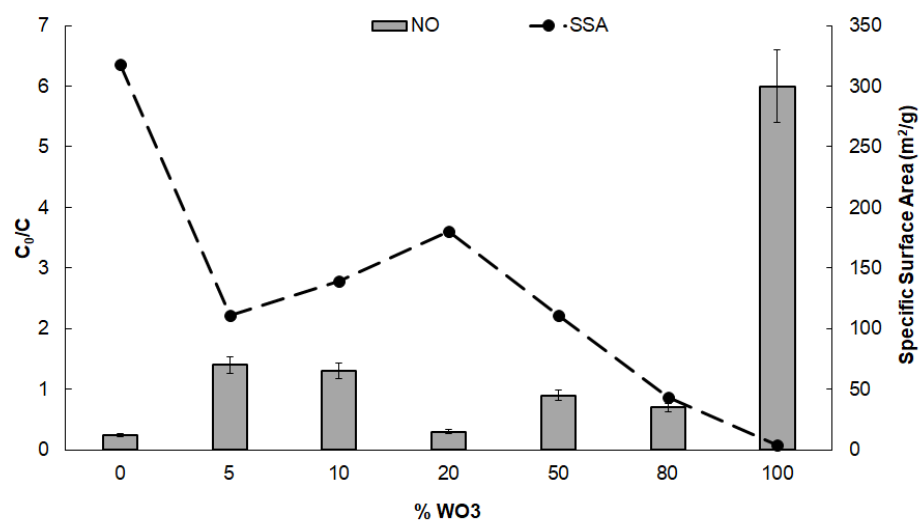


Figure S3. Dependence of WO_3 content (%) in the composites versus and NO production.